UNIDADE VI – Fotossíntese: Reações de carboxilação

- 6. Ciclo da redução do carbono (Reações bioquímicas)
- 6.1. Ciclo de Calvin-Benson (Plantas C₃)
- 6.2. Mecanismos de concentração de CO₂
- 6.2.1. Bombas de CO₂/HCO₃⁻
- 6.2.2. Ciclo fotossintético C₄ do carbono
- 6.2.3. Metabolismo ácido crassuláceo (Plantas CAM)

Reações luminosas e de carboxilação da fotossíntese em cloroplastos de plantas

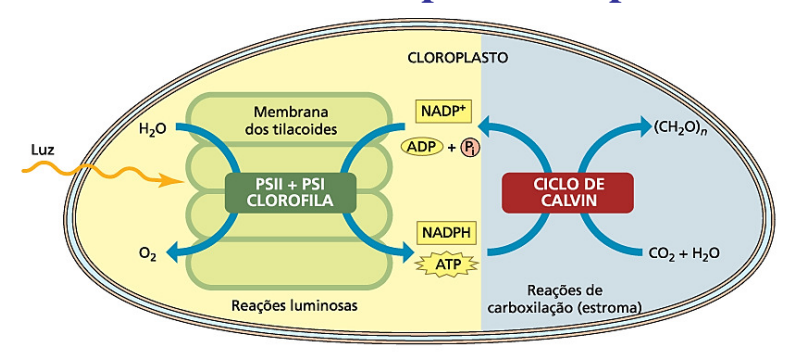


FIGURA 8.1 Reações luminosas e de carboxilação da fotossíntese em cloroplastos de plantas terrestres. Nas membranas dos tilacoi-des, a excitação da clorofila no sistema de transporte de elétrons [fotossistema || (PSII) + fotossistema | (PSI)] pela luz induz a formação

de ATP e NADPH (ver Capítulo 7). No estroma, tanto o ATP como o NADPH são consumidos pelo ciclo de Calvin-Benson, em uma série de reações catalisadas por enzimas que reduzem o CO₂ atmosféricos a carboidratos (trioses fosfato).

Equação geral da fotossíntese

$$\mathrm{CO_2} \,+\, 2\,\mathrm{H_2O} \,\,\rightarrow\, \mathrm{luz} \,\,\rightarrow\,\, \mathrm{C(H_2O)} \,+\, \mathrm{O_2} \,+\, \mathrm{H_2O}$$

O ciclo de Calvin-Benson

Os organismos autotróficos possuem a capacidade de utilizar a energia de fontes físicas e químicas para incorporar o carbono do ${\rm CO_2}$ atmosférico nos esqueletos de compostos orgânicos compatíveis com as necessidades da célula.

A mais importante rota autotrófica de fixação do ${\rm CO_2}$ é o ciclo de Calvin-Benson, encontrado em muitos procariotos e em todos os eucariotos fotossintetizantes.

Em vista de sua notável capacidade para reduzir o estado de oxidação do carbono [+4 no CO_2 para os níveis encontrados nos açúcares (+2 em grupos cetônicos; 0 em alcoóis secundários)], o ciclo de Calvin-Benson é também chamado de ciclo redutivo da pentose-fosfato.

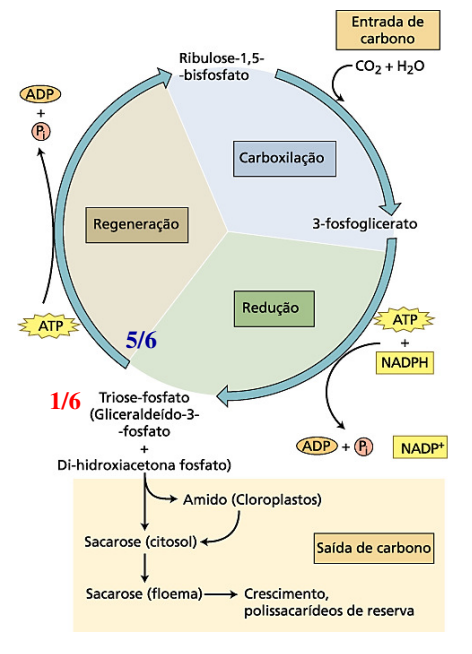
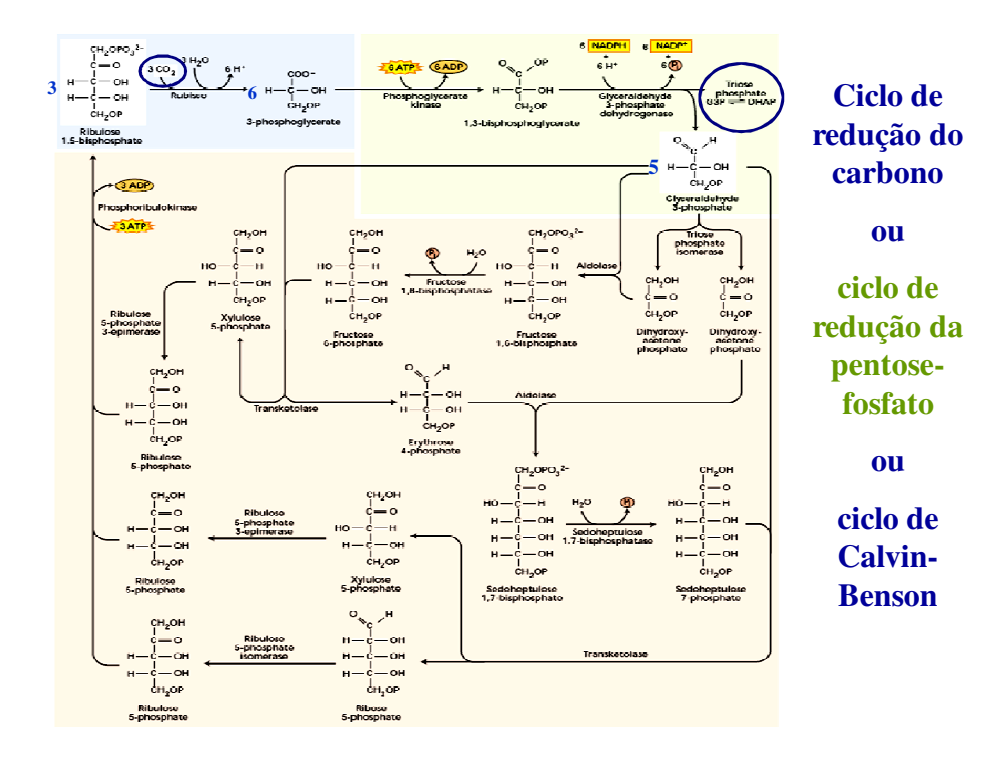


FIGURA 8.2 O ciclo de Calvin opera em três estágios: (1) carboxilação, em que o carbono inorgânico (CO_2) é covalentemente ligado a um esqueleto de carbono; (2) redução, que forma um carboidrato (triosefosfato) ao custo do ATP formado fotoquimicamente e de agentes redutores na forma de NADPH; e (3) regeneração, a qual reconstitui a ribulose-1,5-bisfosfato aceptora do CO_2 . Em situação de equilíbrio, a entrada de CO_2 iguala-se à saída de triosefosfatos. Este último serve como precursor da biossíntese do amido no cloroplasto ou fuem para o citosol para a biossíntese do sacarose. A sacarose é carregada na seiva do floema e utilizada para crescimento ou para síntese de polissacarídeos em outras partes da planta.

O ciclo de
Calvin-Benson
possui três
estágios:
carboxilação,
redução e
regeneração.



Carboxilação e oxigenação da ribulose-1,5-bifosfato pela rubisco

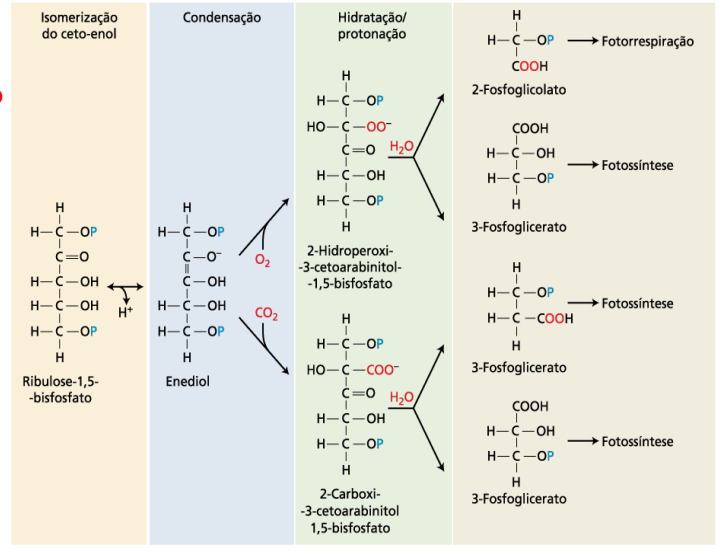


FIGURA 8.4 A carboxilação e oxigenação da ribulose-1,5-bisfosfato catalisada pela rubisco. A ligação da ribulose-1,5-bisfosfato a rubisco facilita a formação de um enediol intermediário ligado à enzima que pode ser atacado pelo CO, o u O, an posição do carbono 2. Com CO, o produto é um intermediário de 6 carbonos (2-carboxil-3-cetoarabinitol 1,5-bisfosfato); com O₂ o produto é um intermediário reativo de 5 carbonos (2-hidroporoxi-3-cetoarabinitol

1,5-bisfosfato). A hidratação desses intermediários no carbono 3 desencadeia a quebra da ligação carbono-carbono entre os carbonos 2 e 3, produzindo duas moléculas de 3-fosfoglicerato (atividade de carboxilase) ou uma molécula de 2-fosfoglicolato e uma molécula de 3-fosfoglicicolato e uma molécula de 3-fosfoglicicolato e úna catividade de oxigenase). O importante efeito físicologico da atividade nxigenase é descrita na seção "O Ciclo Oxidativo Fotossintético" C2 o Carbono".

A Rubisco (L₈S₈) com massa molecular de 560 kDa;

8 subunidades grandes (55 kDa) – DNA cloroplasto;

8 subunidades pequenas (14 kDa) – DNA nuclear;

obs: Nas plantas C_3 a Rubisco representa cerca de 40% das proteínas solúveis da folha.

Duas características da reação de carboxilação da Rubisco favorecem a reação direta:

- 1. A grande mudança negativa em energia livre associada à carboxilação da ribulose-1,5-bifosfato;
- 2. A afinidade da Rubisco pelo ${\rm CO_2}$ que assegura uma rápida carboxilação nas baixas concentrações de ${\rm CO_2}$ encontradas nas células fotossintetizantes.

Pode-se calcular a eficiência do ciclo de Calvin, considerando que:

- Na hidrólise do ATP são liberados 29 kJ mol⁻¹;
- Na oxidação do NADPH são liberados 217 kJ mol⁻¹;
- Na oxidação de triose são liberados 1.440 kJ mol⁻¹;
- No ciclo de Calvin \rightarrow fixação de 3 CO₂ \rightarrow TRIOSE-P \rightarrow são consumidos 9 ATP e 6 NADPH.

CONSUMO DE ENERGIA NO CICLO DE CALVIN É :

```
(6 NADPH x 217 kJ) + (9 ATP x 29 kJ) = 1.563 kJ mol<sup>-1</sup>
1.302 kJ (83%) + 261 kJ (17%) = 1.563 kJ mol<sup>-1</sup>
Portanto, a eficiência do ciclo de Calvin é de:
1.440 kJ mol<sup>-1</sup> / 1.563 kJ mol<sup>-1</sup> x 100 = 92%
```

BALANÇO ENERGÉTICO DA FOTOSSÍNTESE

• São gastos 8 fótons por CO₂ fixado (10 fótons experimentalmente);

Luz vermelha têm 181 kJ mol⁻¹ de fótons; para $3 \text{ CO}_2 \rightarrow 1 \text{ TRIOSE} \rightarrow \therefore$ $3 \times 8 \times 181 \text{ kJ mol}^{-1} = 4.344 \text{ kJ mol}^{-1}$

OBS:

1- Na síntese de 1 mol de triose são requeridos 1.440 kJ, então a eficiência da fotossíntese é:

1.440 kJ mol⁻¹/ 4.344 kJ mol⁻¹ x 100 = 33%

2- Então, a maior parte da energia radiante (67%) é perdida na geração de ATP e de NADPH (Reações fotoquímicas).

Regulação do ciclo de Calvin

- Quantidade de enzimas → Controlada geneticamente (genomas nuclear e do cloroplasto);
- Atividade das enzimas → Controlada pelo binômio luz/escuro;
- Compartimentalização → Controle feito pela síntese/degradação do amido no cloroplasto e a síntese de sacarose no citosol.

Ativação de enzimas dependentes da luz regulam o ciclo de Calvin

Cinco enzimas reguladas pela luz atuam no ciclo de Calvin:

- 1. Rubisco;
- 2. Desidrogenase do gliceraldeído-3-fosfato:NADP;
- 3. Frutose-1,6-bifosfatase;
- 4. Sedoheptulose-1,7-bifosfatase;
- 5. Cinase da ribulose-5-fosfato.

Obs: As enzimas 1, 3, 4 e 5 são mais ativas a pH 8,0 e na presença da luz.

Regulação da RUBISCO pela luz

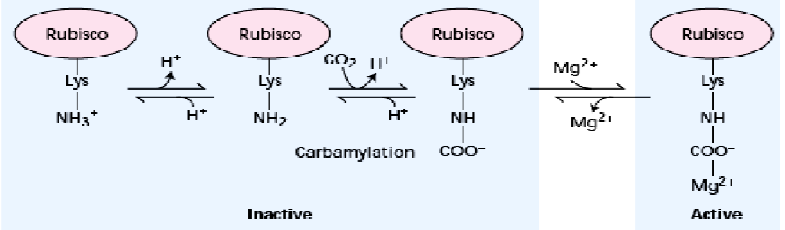


FIGURE 8.6 One way in which rubisco is activated involves the formation of a carbamate–Mg²+ complex on the e-amino group of a lysine within the active site of the enzyme. Two protons are released. Activation is enhanced by the increase in Mg²+ concentration and higher pH (low H+ concentration) that result from illumination. The CO2 involved in the carbamate–Mg²+ reaction is not the same as the CO2 involved in the carboxylation of ribulose-1,5-bisphosphate.

 $LUZ \rightarrow Bombeia H^+ do estroma para o lume dos tilacoides e, em troca, ocorre saída de <math>Mg^{2+}$ para o estroma;

LUZ \rightarrow pH \uparrow (7 \rightarrow 8) e [Mg²⁺] \uparrow no estroma \rightarrow Ativação da Rubisco;

NOITE → Açúcares-P, como o carboxiarabinitol-1-P em algumas plantas, liga-se à Rubisco, inativando-a.

obs: Na luz a ativase da Rubisco retira estes açúcares, reativando a Rubisco.

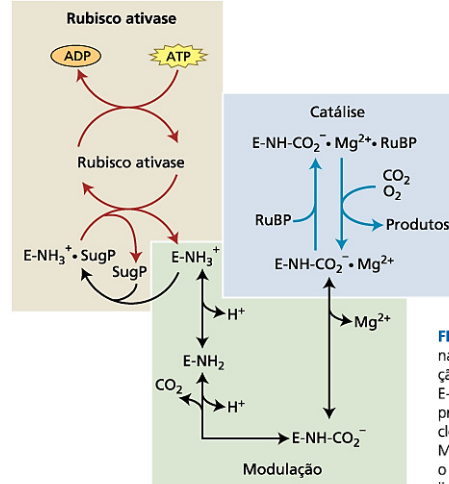


FIGURA 8.5 O CO, atua tanto como ativoador como substrato na reação catalisada pela rubisco. Modulação (painel verde); a reação do CO₂ ativador com a rubisco (E) causa a formação do adutor E-carbamato (E-NH-CO₂-), o qual, ao ser estabilizado pelo Mq²⁺, produz o complexo E-carbamato (E-NH-CO₂-Mg²⁺). No estroma de cloroplastos sob iluminação, aumentos de pH e da concentração de Mg²⁺ facilitam a geração da forma cataliticamente ativa da rubisco. o complexo E-NH-CO₂-•Mg²⁺. Rubisco ativase (painel bege): a forte ligação dos açúcares-fosfato (SugP) impede a produção do adutor E-carbamato. NO ciclo mediado pela rubisco ativase, a hidrólise do ATP pela rubisco ativase produz uma alteração de conformação da rubisco que reduz a sua afinidade por açúcars fosfato. Catalise (painel azul): quando da formação do complexo E-NH-CO₂-•Mg²+ no sítio ativo da enzima, a rubisco se combina com a ribulose 1.5-bisfosfato (RuBP) e subsequentemente com o outro substrato, CO₂ ou O2, iniciando as atividades de carboxilase ou oxigenase, respectivamente (ver Figura 8.4). Produtos da catálise são duas moléculas de 3-fosfoglicerato (atividade de carboxilse) ou uma molécula de 3-fosfoglicerato e uma de 2-fosfoglicolato (atividade de oxigenase).

A luz regula o ciclo de Calvin via sistema ferredoxina-tiorredoxina

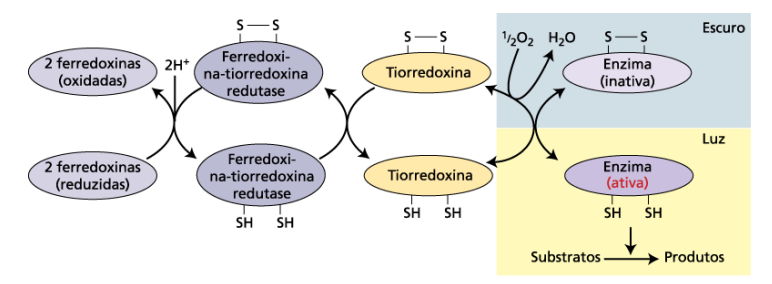


FIGURA 8.6 O sistema ferredoxina-tiorredoxina. O sistema ferredoxina-tioredoxina liga o sinal luminoso percebido pelas membra-nas do tilacoide à atividade das enzimas no estroma do cloroplasto. A ativação das enzimas do ciclo redutivo da pentose fosfato (ciclo de Calvin-Benson) inicia na luz com a redução da ferredoxina pela cadeia transportadora de elétrons (PSII + PSI) (ver Capítulo 7). A ferredoxina reduzida, juntamente com dois prótons, é utilizada para reduzir a ligação dissulfeto catalicamente ativa (–5–5–) da enzima ferro-sulfurosa feredoxina-tiorredoxina redutase, a qual, por sua vez, reduz a ligação dissulfeto ímpar (–5–5–) da proteina reguladora

tiorredoxina (ver **Tópico 8.6 na internet** para detalhes). A forma reduzida (–SH HS–) da tiorredoxina reduz, então, a ligação dissulfeto crítica (reguladora) da enzima-alvo, iniciando sua conversão para um estado catalicamente ativo. Nesse estado, a enzima-alvo catalisa a transformação dos substratos em produtos. No escuro, a formação da ligação dissulfeto na tiorredoxina traz a forma reduzida da enzima (–SH HS–) de volta para a forma oxidada (–S–S–) com a concomitante perda de atividade. Uma enzima do ciclo oxidativo da pentose fosfato, a glicose-6-fosfato desidrogenase, a qual é ativa no estado oxidado (escuro), é desativada após a redução pela tiorredoxina.

No escuro: O_2 transforma a tiorredoxina reduzida para o estado oxidado, que por sua vez converte a enzima alvo reduzida para o estado oxidado.

A luz controla o arranjo das enzimas dos cloroplastos em complexos supramoleculares

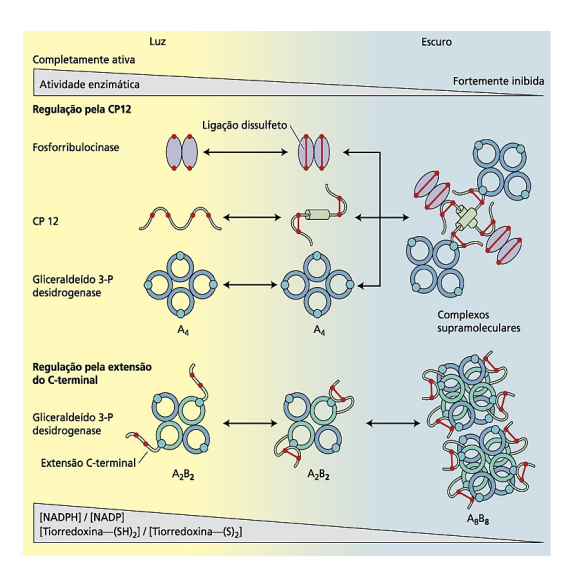
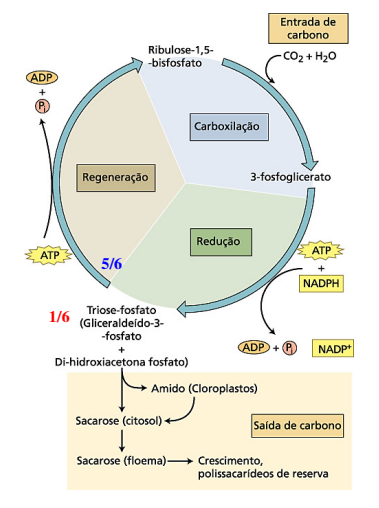


FIGURA 8.7 Regulação da fosforibulocinase e da gliceraldef-do-3-P desidrogenase do cloroplasto. Duas formas de gliceraldef-do-3-fosfato operam no ciclo de Calhin-Berson do extroma do choroplasto. Do "condições de escuro", a fosforibulocinase e agliceraldeflo-3-fosfato desidrogenase não estão ativas. A baixa razão de tiorredoxina reduzida para tiorredoxina costáda (tiorredoxina-CSH),/titorredoxina-(S), promove a formação de ligações dissulfi-ton a CP12, offortibulicinase, e na extensão C-terminal da forma A,B, da gliceraldefido-3-fosfato desidrogenase. Os estados oxidados de CP12 e da fosforribulicinase, e recrutam a A, pericardefido 3-fosfato desidrogenase para a formação do complexo supramolecular

CP12-fosforribulocinase-A,-gliceraldeldo 3-fosfato desidrogenase, enquanto a A_x-B_x-gliceraldeido-3-fosfato desidrogenase heterote-tramérica se associa formando a A_x-B_x-gliceraldeido-3-fosfato desidrogenase. Neste estágio, as respectivas atividades cataliticas são fortemente inibidadas. Sob "condições de luz", a fosforribulocinase e a gliceraldeido-3-fosfato desidrogenase exhem capacidade catalitica máxima. O aumento na razão [tiorredoxina-(Sh.)]/tiorredoxina-(Sh.) promove a redução das ligações dissulfito nos conjuntos de enzimas, causando a sua dissociação. Neste estágio, as enzimas fosforribulocinase e gliceraldeido-3-fosfato desidrogenase liberadas (tivres) estão completamente atividades desidrogenase liberadas (tivres) estão completamente atividades.

Mecanismo de controle do CRCF por compartimentalização



Amido → armazenado no cloroplasto; Sacarose → Armazenada no vacúolo ou translocada.

A triose-fosfato é exportada para o citosol via antiporte Pi-triose-P

Mecanismo de controle do CRCF por compartimentalização

Na luz há tendência de acumular amido:

LUZ Ativa CRCF (ativa enzimas 1, 2, 3, 4 e 5)
Inibe enzimas da degradação do amido

Além disso, nos cloroplastos:

Na presença da luz:

 $[PGA] \ e \ [ATP] \ aumentam \ e \ [Pi] \ diminui \ \rightarrow o correndo \ a \ ativação \ da$ $ADPG-pirofosforilase \ \Longrightarrow \ sintese \ de \ amido \uparrow$ $[triose-P] \ aumenta \ \rightarrow \ [glicose-P] \ aumenta$

Acumulação e partição de fotossintatos -Amido e

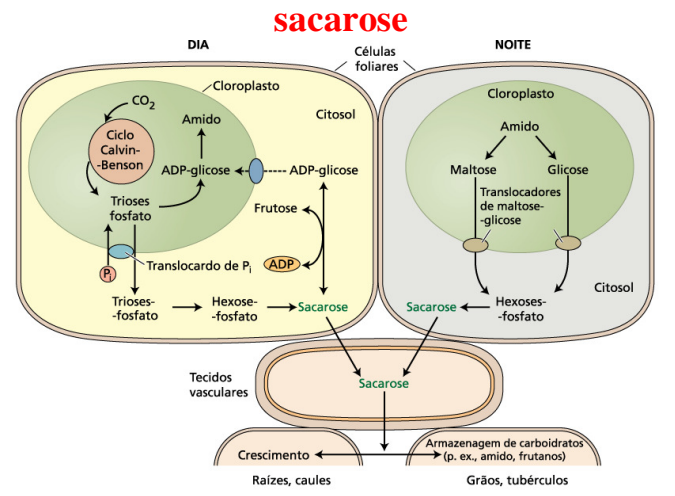
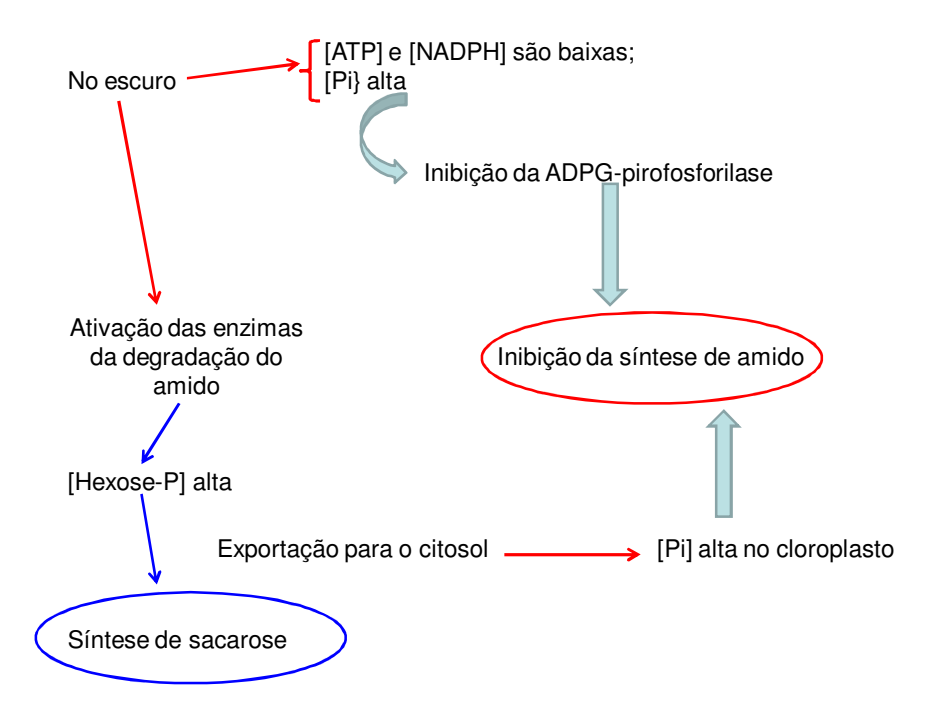
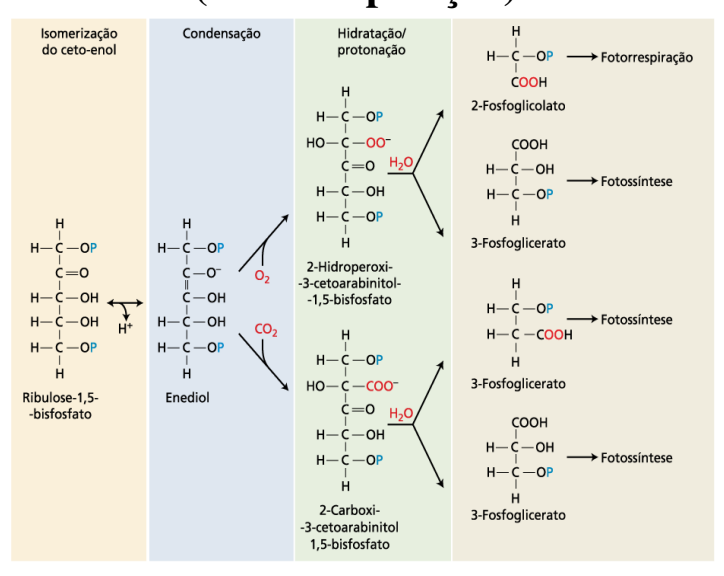


FIGURA 8.14 Mobilização do carbono em plantas terrestres. Durante o dia, o carbono assimilado fotossinteticamente é utilizado para a formação de amido no cloroplasto ou é exportado para o citosol para a síntese de sacarose, a qual pode então ser transportada para as partes não fotossintetizantes da planta. Estímulos externos e internos controlam a partição entre amido e sacarose. Tiroses-fosfato do ciclo de Calvin-Benson podem ser utilizadas para (1) a síntese de ADP-diloses no cloroplasto, ou (2) translocação para o citosol

para a síntese de sacarose. À noite, a clivagem das ligações glicosídicas do amido libera maltose e glicose, que fluem através do envoitório do cloroplasto para suprir o pool de hexoses-fosfato contribuir para a síntese de sacarose. De uma forma contínua, a sacarose liga a assimilação de carbono inorgânico (CO₂) nas folhas à utilização do carbono orgânico para crescimento e armazenagem nas partes não fotossintetizantes da planta. O transporte de ADP-glicose, indicado, para dentro do plastídeo ainda é controvertido.



$O\ ciclo\ fotossint\'etico\ oxidativo\ C_2\ do\ carbono\ (Fotorrespiraç\~ao)$

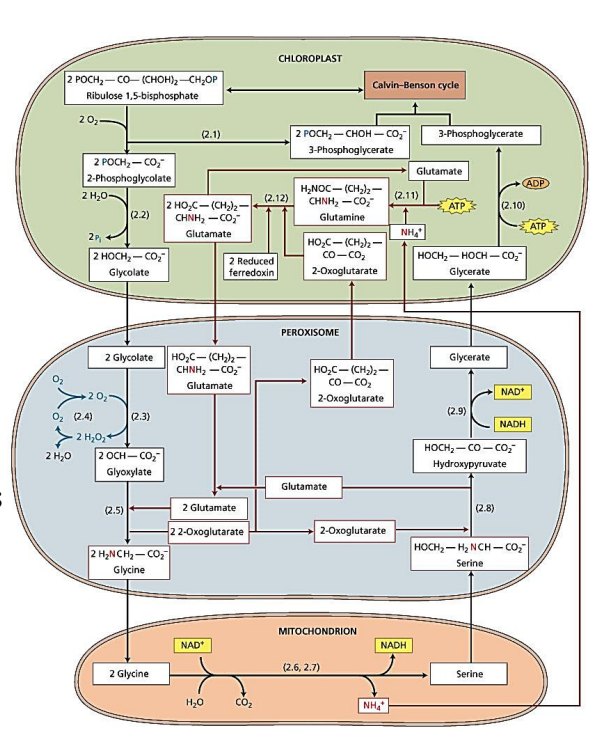


Principais reações do Ciclo Fotorrespiratório

- 2.1 Rubisco;
- 2.2 Fosfatase do fosfoglicolato;
- 2.3 Oxidase do glicolato;
- 2.4 Catalase:
- 2.5 Glioxilato:glutamato aminotransferase;
- 2.6 Descarboxilase da glicina;
- 2.7 Hidroximetiltransferase da serina;
- 2.8 aminotransferase da serina;
- 2.9 Redutase do

hidroxipiruvato;

- 2.10 Quinase do glicerato.
- 2.11 Sintetase da glutamina;
- 2.12 Sintase do glutamato.



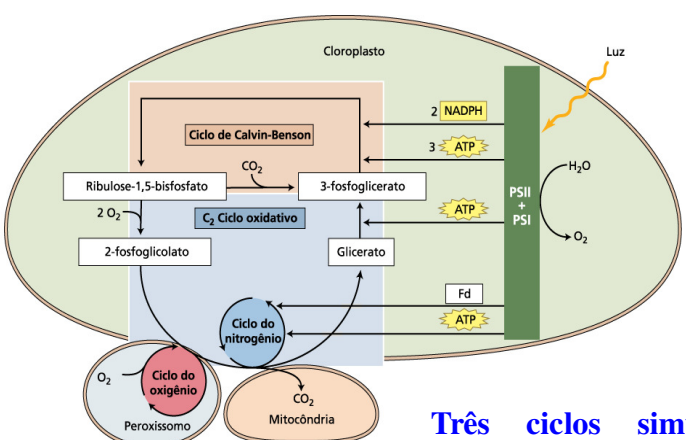


FIGURA 8.9 Dependência do ciclo oxidativo fotossintético C₂ no metabolismo do cloroplasto. ATP e equivalentes redutores vindos das reações luminosas nas membranas dos tilacoides são necessários para o funcionamento do ciclo oxidativo fotossintético C₂ em três compartimentos: cloroplastos, peroxissomos e mitocôndrias. O "ciclo do carbono" utiliza (1) NADPH e ATP para manter um nível adequado de ribulose 1,5-bisfosfato no ciclo de Calvin-Benson, e (2) ATP para converter o glicerato a 3-fosfoglicerato no ciclo oxidativo fotossintético C₂, O "ciclo do nitrogênio" emprega ATP e equivalentes redutores para recuperar gliutamato a partir de NH₄* e 2-oxogliutarato vindo do ciclo fotorrespiratório. No peroxissomo, o "ciclo do oxigênio" contribui para a remoção de H₂O₂ formado na oxidação do dicolato pelo O₂.

Três ciclos simultâneos são responsáveis pela circulação de átomos de carbono, nitrogênio e oxigênio pela fotorrespiração.

In vivo, o balanço entre os ciclos de Calvin-Benson e oxidativo C_2 é determinado principalmente por três fatores: um inerente à planta (as propriedades cinéticas da rubisco) e dois ligados ao ambiente (temperatura e concentrações dos substratos, CO_2 e O_2). Um aumento na temperatura externa:

- Modifica as constantes cinéticas da rubisco, aumentando a taxa de oxigenação mais que a de carboxilação; e
- Baixa a concentração de CO₂ mais do que a de O₂ em uma solução em equilíbrio com o ar.

Desta forma, o aumento na fotorrespiração (oxigenação) relativa à fotossíntese (carboxilação) limita significativamente a eficiência da assimilação fotossintética do carbono sob temperatura mais elevadas.

A fotorrespiração causa uma perda parcial de CO_2 fixado pelo ciclo de Calvin-Benson e a simultânea captação de oxigênio pelas folhas fotossinteticamente ativas.

Se a $[CO_2]$ = $[O_2]$ a razão entre carboxilação/oxigenação seria de 80/1;

A 25 °C em meio aquoso a razão $[CO_2]/[O_2] = 0,0416$, então a razão de carboxilação/oxigenação é de 3/1.

obs: A fotorrespiração *in vivo* é cerca de 25% da fotossíntese (25 °C).

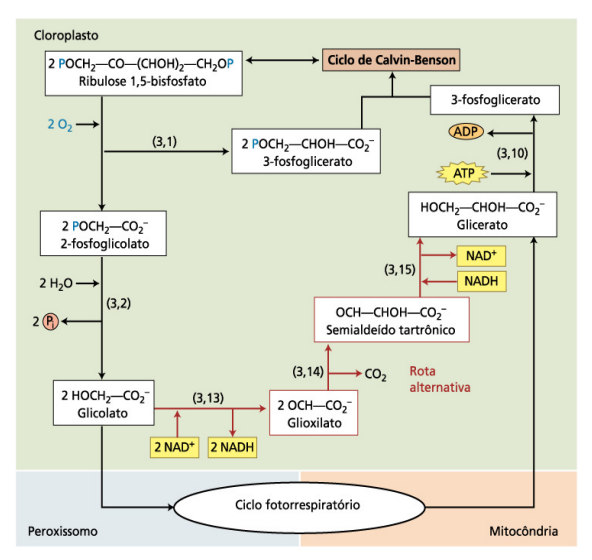
A fotorrespiração protege o aparelho fotossintético sob condições de estresse

- Ela promove a recuperação do carbono que poderia ser perdido na forma de 2-fosfoglicolato. A fotorrespiração recupera como glicerato 75% do carbono perdido como 2fosfoglicolato do ciclo de Calvin-Benson.
- A química da reação de carboxilação requer um intermediário com capacidade para reagir tanto com CO₂ quanto com o O₂.
 Tal reação teria tido pouca relevância durante os primórdios da evolução, quando as razões CO₂:O₂ eram mais elevadas.
 Porém, a reação de oxigenação tornou-se significante quando os níveis de O₂ aumentaram na atmosfera.

 Uma outra explicação é que a fotorrespiração constitui um mecanismo de proteção, que reduz os danos causados pelas EROs geradas sob condições de alta intensidade luminosa e baixa concentração de CO₂ intercelular (quando os estômatos estão fechados em função de estresse hídrico), para dissipar o excesso de ATP e poder redutor das reações fotoquímicas evitando danos no aparelho fotossintético (experimento feito com mutante de Arabidopsis). Uma importante evolução neste contexto foi o reconhecimento de que uma das maiores fontes de H₂O₂ nas células fotossintetizantes é a fotorrespiração. Embora essa espécie reativa de oxigênio seja considerada tóxica, o H₂O₂ também atua como uma molécula sinalizadora ligada a respostas hormonais e de estresse (morte celular programada e regulação da homeostase redox celular).

Como pode-se aumentar a produtividade das plantas C_3 ?

- Enriquecimento do ar com CO₂;
- Baixar a [O₂] na atmosfera (impraticável);
- Utilização de um mecanismo complementar para a recuperação dos átomos de carbono do ácido glicólico;



A mudança do glicolato da rota metabólica da planta para a rota da bactéria elimina o uso da energia (1 ATP e 2 Fd_{red}) requerida para recuperar o NH₄⁺.

FIGURA 8.10 A recuperação do glicolato da fotorrespiração pela rota catabólica do glicolato de E. colíi, introduzida nos cloroplastos de plantas terrestres. Quando da iluminação das plantas transgênicas, a atividade oxigenase da rubisco produz 2-fosfoglicolato, Neste estágio, a rota catabólica do olicolato de E. colí introduzida nos cloroplastos de linhas transgênicas de Arabidopsis desvia glicolato da fotorrespiração para uma rota alternativa (indicada por caixas

vermelhas e setas). Primeiro, o glicolato é oxidado à glioxilato pela glicolato desidrogenase. A glioxilato rathoxiligase bacterial catalisa, então, a condensação de duas moléculas de glioxilato, produzindo uma molécula de semialdeido tartrônico com a consequente liberação de uma molécula de CO2. Finalmente, o semialdeido tartrônico é reduzido pela semialdeido tartrônico redutase para geara glicerato, o qual prossegue para o ciclo de Calvin-Benson pelo ciclo oxidativo C2. Ver Tabela 8.3 para uma descrição de cada reação numerada.



Mecanismo de concentração de CO₂: Bombas de CO₂ e HCO₃ em algas e cianobactérias.

- Cultivadas em ar enriquecido (CO₂ a 5%) a fotorrespiração não ocorre.
- Transferidos para o ar normal (${\rm CO_2}$ a 0,038%) a fotorrespiração passa a ocorrer.
- Quando crescem diretamente em ar normal (CO₂ a 0,038%), elas rapidamente desenvolvem a capacidade de concentrar CO₂e HCO₃⁻ (Bombas de CO₂e HCO₃⁻, existentes nas membranas), o custo energético desta adaptação é o consumo adicional de ATP, necessário para concentrar o CO₂.



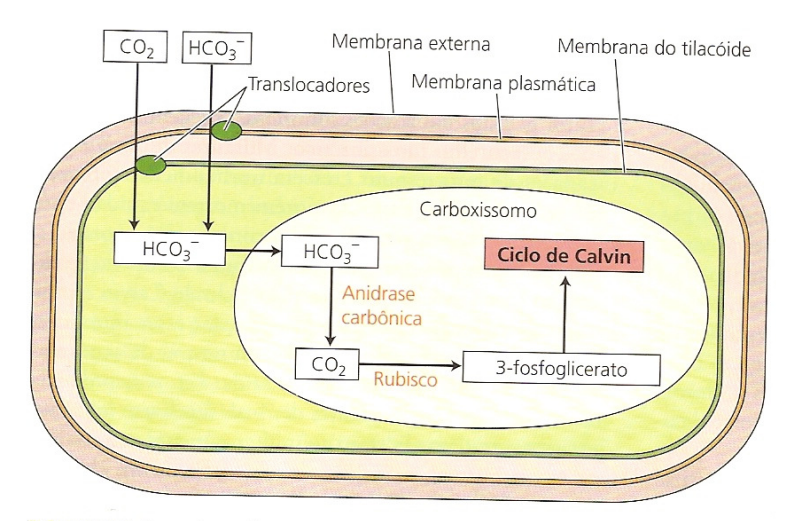


FIGURA 8.9 Mecanismo de concentração de CO_2 de cianobactérias. Translocadores localizados na membrana do tilacóide e na membrana plasmática (ovais em verde) bombeiam CO_2 e HCO_3^- para dentro do citosol e do tilacóide de uma cianobactéria. A resistência difusional ao efluxo e o gradiente interno de HCO_3^- move o carbono inorgânico para o carboxissomo. A anidrase carbônica carboxissômica catalisa a interconversão entre HCO_3^- e CO_2 e, assim fazendo, aumenta a concentração de CO_2 ao redor da rubisco, facilitando a carboxilação da ribulose-1,5-bisfosfato.

Mecanismo de concentração de CO₂: O ciclo fotossintético C₄ do carbono

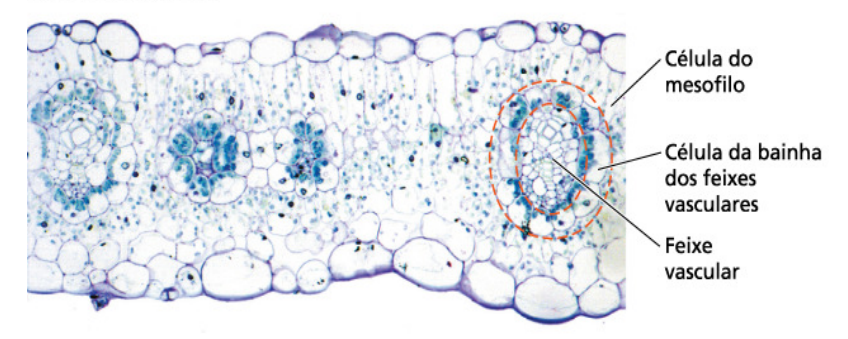
Algumas gramíneas e outras espécies de plantas adaptadas ao clima tropical se distinguem de outras por possuírem:

- Taxa fotossintética mais alta;
- Baixa perda de CO₂ na presença da luz;
- Anatomia foliar característica: presença de bainha vascular (síndrome Kranz);
- \bullet Baixo consumo de H_2O por unidade de matéria seca produzida.

Estas características estão relacionadas com o processo de fixação de CO_2 através do ciclo fotossintético C_4 do carbono das plantas C_4 (1% de todas as espécies conhecidas possuem o metabolismo C_4).

Dicotiledônea C₄ (Flavelia australasica, família Asteraceae)

(B) Anatomia Kranz

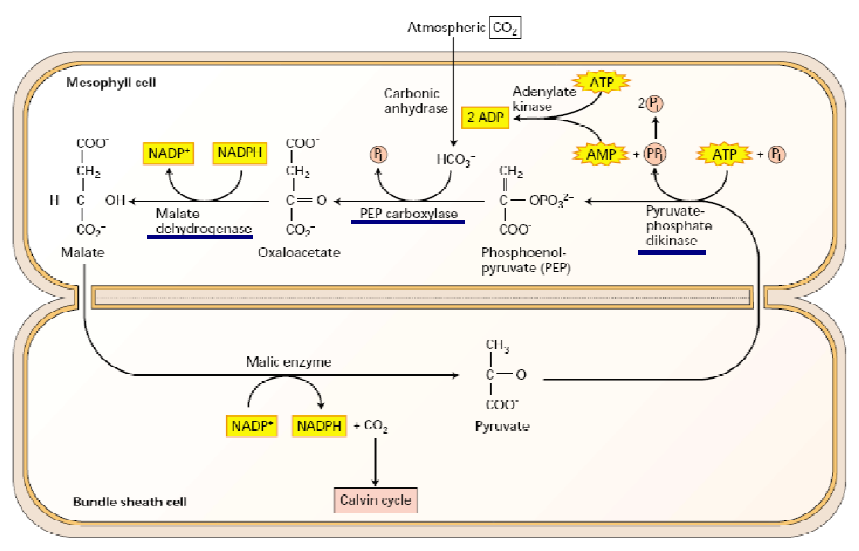


Técnicas histoquímicas e de isolamento das células do mesofilo, das células da bainha vascular e de suas organelas possibilitaram o conhecimento dos seguintes fatos:

- O citosol das células do mesofilo se conecta com o das células da bainha através de uma extensa rede de plasmodesmas;
- As células do mesofilo possuem enzimas diferentes (carboxilase do PEP e dicinase do piruvato) das encontradas nas células da bainha vascular (enzimas de descarboxilação e do ciclo de Calvin).

De posse destas informações e de outros estudos bioquímicos sugere-se o esquema seguinte para as plantas formadoras de malato:

A ROTA FOTOSSINTÉTICA C₄



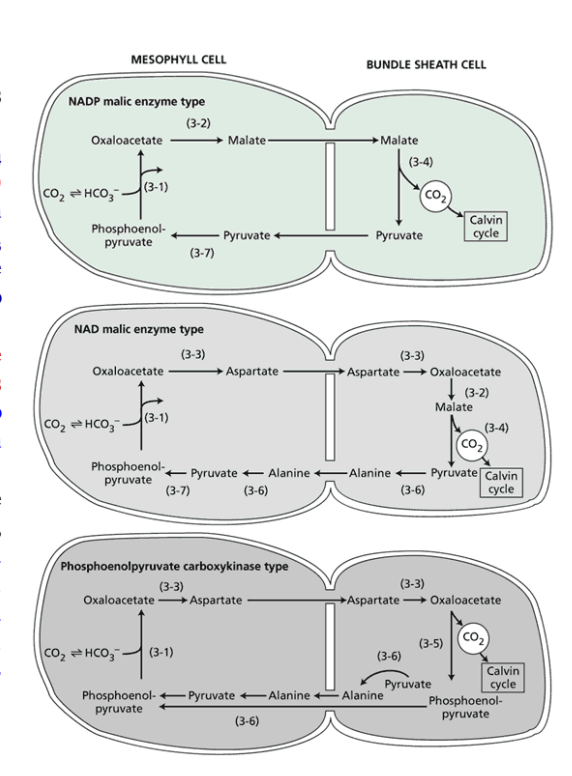
 $\label{eq:Figure 8.11} The \ C_4 \ photosynthetic pathway. The hydrolysis of two ATP drives the cycle in the direction of the arrows, thus pumping CO_2 from the atmosphere to the Calvin cycle of the chloroplasts from bundle sheath cells. \\$

Diferenças entre as três variantes do ciclo C_4 :

 $\begin{array}{ccccc} (1) & A & natureza & dos & ácidos & C_4 \\ (malato & ou & aspartato) \\ transportado & para & as & células & da \\ bainha & vascular & e & dos & ácidos & C_3 \\ (piruvato & ou & alanina) & que \\ retornam & para & as & células & do \\ mesofilo; \end{array}$

(2) A natureza das enzimas que catalisam a descarboxilação nas células da bainha vascular. São denominadas pelo nome da enzima de descarboxilação.

Representantes de cada variante incluem milho, capim-de-roça, cana-de-açúcar, sorgo (enzima málica-NADP: cloroplasto); amaranto, milheto (enzima málica-NAD: mitocôndria); capim-colonião (PEP-carboxicinase: citosol).



O ciclo C₄ tem demanda de energia mais alta que o ciclo de Calvin.

TABLE 8.4 Energetics of the C₄ photosynthetic carbon cycle Phosphoenolpyruvate + H₂O + NADPH + CO₂ (mesophyll) malate + NADP+ + P_i (mesophyll) Malate + NADP+ pyruvate + NADPH + CO₂ (bundle sheath) Pyruvate + P_i+ ATP phosphoenolpyruvate + AMP + PP_i (mesophyll) PP_i + H₂O 2 P_i (mesophyll) AMP + ATP 2ADP Net: CO₂ (mesophyll) +2ATP + 2 H₂O CO₂ (bundle sheath) + 2ADP + 2 P_i \rightarrow Cost of concentrating CO_2 within the bundle sheath cell = 2 ATP per CO_2

Note: As shown in reaction 1 of Table 8.3, the $\rm H_2O$ and $\rm CO_2$ shown in the first line of this table actually react with phosphoenolpyruvate as $\rm HCO_3^-$.

P_i and PP_i stand for inorganic phosphate and pyrophosphate, respectively.

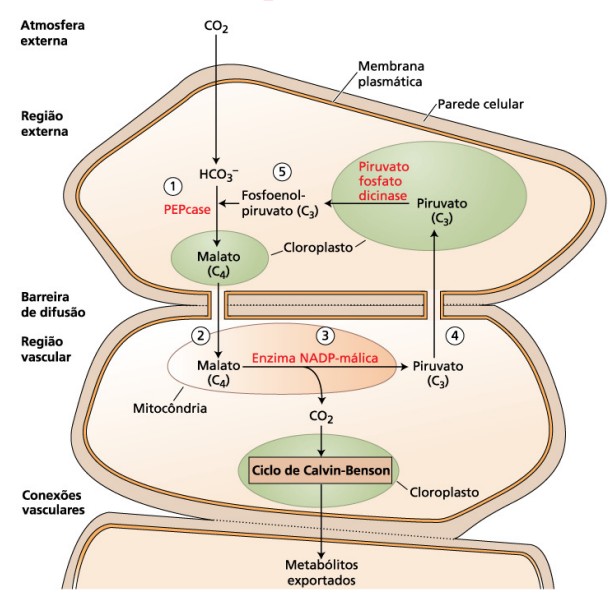
CUSTO POR CADA CO₂ FIXADO:

• Plantas C₃: 3 ATP e 2 NADPH;

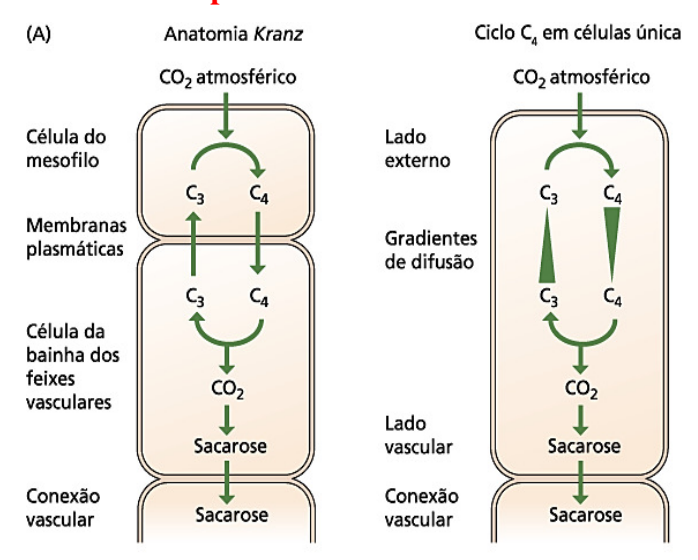
•Plantas C₄: 5 ATP e 2 NADPH;

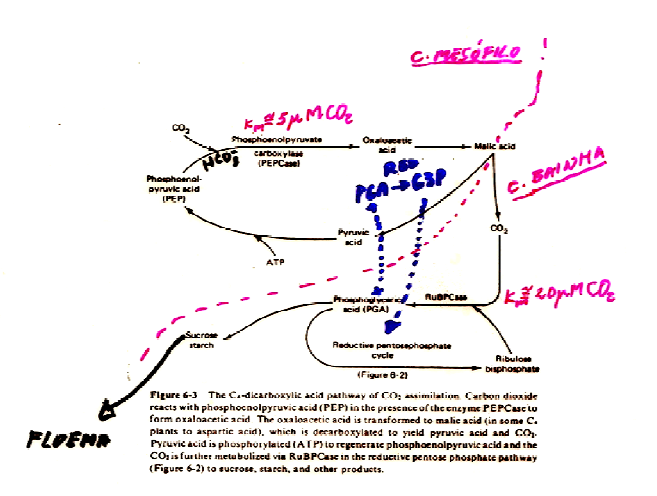
•Plantas CAM: 6,5 ATP e 2 NADPH.

O ciclo fotossintético C₄ envolve cinco estádios sucessivos em dois diferentes compartimentos de células vegetais.



Algumas outras plantas, tipificadas por *Borszczowia aralocaspica* e *Bienertia cycloptera (plantas asiáticas)*, contêm os equivalentes desses compartimentos em uma única célula.





Obs: Nas células da bainha vascular a [CO₂] é de 60 µM;

A razão $[CO_2]/[O_2]$ é alta, então a rubisco tem alta atividade carboxilásica e baixa atividade oxigenásica.

Logo, a fotorrespiração é baixa ou inexistente nas plantas C₄.

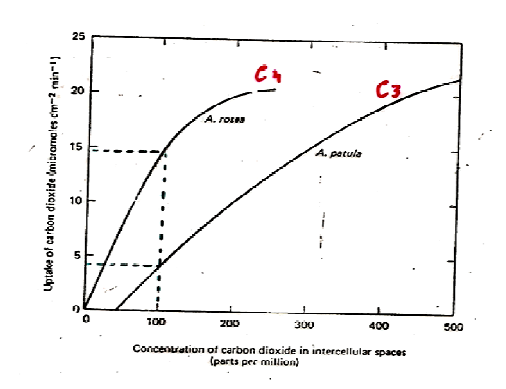


Figure 7. The effect of concentration of earbon disoxide in intercellular spaces on net photosynthemic in o.C., plant *(Author)* expendial and a.C., plant (Author) expensions. Measurements were made in 21% oxygen and at non-outgreal light internation for each plant. More: To convert plant of carbon disoxide don "min" on the vertical axis to my of carbon disoxide don "h, use the factor, 20 µmol of carbon disoxide don" h, After Bjötkmen and disoxide don" "h, After Bjötkmen and disoxide don" h, After Bjötkmen and disoxide don" h, After Bjötkmen and disoxide don h, After Bjötkmen and disoxide don h, After Bjötkmen and disoxide don' h, Aft

 $[CO_2]$ baixa \Rightarrow FS líquida em $C_4 > FS$ líquida em C_3

Estresse hídrico \rightarrow Estômatos quase fechados \rightarrow

 \rightarrow [CO₂] baixa \rightarrow FS de C₃ baixa e FS de C₄ alta.

Mecanismo de concentração de CO₂: Metabolismo ácido das crassuláceas (CAM)

Características:

- São, em geral, suculentas (Crassuláceas, Cactáceas, Bromeliáceas, Orquidáceas, liliáceas e Euforbiáceas) de regiões áridas e semiáridas;
- Há uma variação cíclica de pH (durante o dia aumenta e durante a noite diminui) devido ao acúmulo de ácidos orgânicos (principalmente o ácido málico) durante a noite;
- Os estômatos abrem-se durante a noite e fecham-se durante quase todo o dia;

- O CO₂ é fixado pela PEPcarboxilase (no período noturno);
- As células do mesofilo, em geral lacunoso, são presentes e ricas em cloroplastos, com o ciclo de Calvin;
- As folhas, quando possuem bainha vascular, tem células idênticas às do mesofilo;
- Aizoaceae, Crassulaceae, Portulaceae e Vitaceae utilizam o CAM quando água é escassa e fazem a transição gradual para C_3 quando água é abundante.

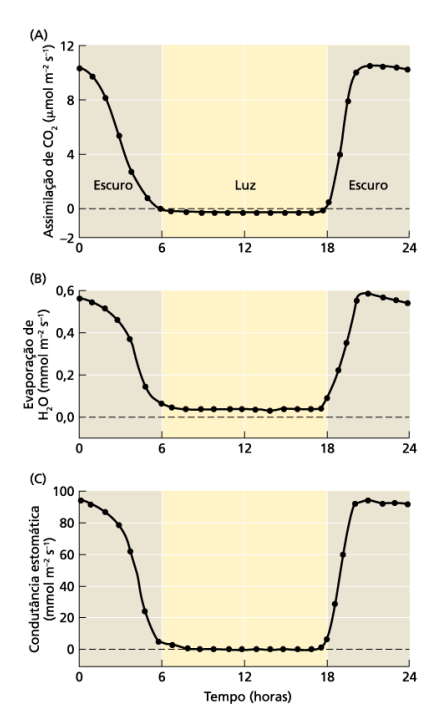
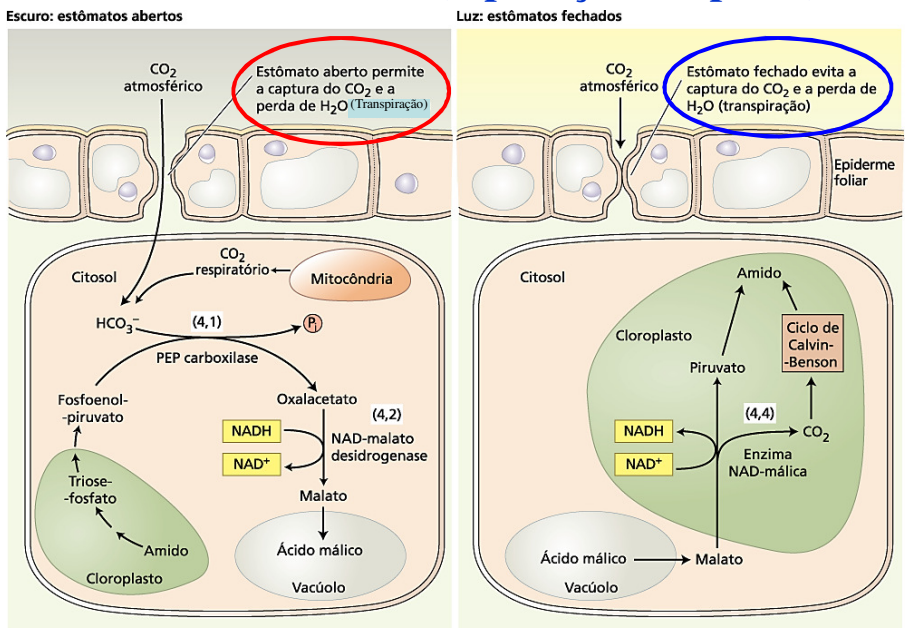


FIGURA 9.23 Assimilação fotossintética de carbono, evaporação e condutância estomática de uma planta CAM, o cacto *Opuntia ficusindica*, durante um período de 24 horas. A planta foi mantida inteira em uma câmara de medição de trocas gasosas no laboratório. As áreas sombreadas indicam os períodos escuros. Durante o período e estudo, foram mediotos três parâmetros: (A) taxa fotossintética, (B) perda de água e (C) condutância estomática. Ao contrário das plantas com metabolismo C₃ ou C₄, as plantas CAM abrem seus estómatos e fixam CO₃ à noite (segundo Gibson e Nobel, 1986).

Metabolismo CAM (separação temporal) stômatos abertos Luz: estômatos fechados



Luz induz a saída de malato do vacúolo

